

爆破振動がトンネル覆工に与ぼす影響

神戸大学工学部 正会員
神戸大学工学部 正会員
神戸大学大学院 学生員

桝井 春輔
○北村 泰寿
吉田 耕造

1. まえがき 断続トンネルに近接して行われる爆破作業によって生ずる爆破振動が、既設トンネルなどのよろは影響を与えるかを調べる目的で試験爆破による現場実験を行なった。本報告は、これらの測定結果のうち特に覆工横断面内の振動速度分布、覆工内壁の振動速度とひずみの対応、および覆工内部の半径方向のひずみ分布について述べるものである。

2. 実験概要 実験は2箇所の現場において行ない、トンネル内壁断面の振動速度とひずみと同時に測定を実施した。なお、第1の現場(実験①)は尾崎造成地であり、土砂運搬用のベルトコンベアが通るとしているトンネルである。第2の現場(実験②)はダム工事現場の水路段更用トンネルである。

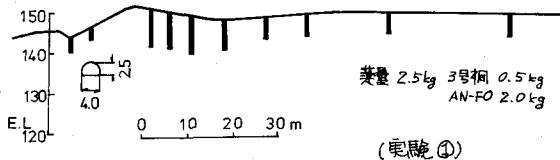
爆破位置、せん孔長、装薬量は、それらを図-1に示すとおりである。爆薬は3号桐およびAN-F0を使用し、爆破は衝撃伝播経路にあたる岩盤が先に爆破されることはないよう順次方より順次進行した。

なお、岩質については実験①の現場は花崗岩、実験②の現場は花崗岩であり、両現場とも表土層はほとんど存在していない。走時曲線より求めた継波の伝播速度は、

実験①では $2\sim3\text{ km/s}$ 、実験②では $2.5\sim4.4\text{ km/s}$

程度である。

測定機器は、振動速度換算器(Geo Space製, $f_0=4.5\text{ Hz}$)、超小型加速度計(共和製, $f_0=750\text{ Hz}$, max 50g)、およびひずみゲージ($\frac{1}{4}\text{ L}=67\text{ mm}$)であり、



覆工横断面内の4・6点を図-2に示すように取り付けた。つまり、振動速度、加速度とともに各点の上下成分、よろは横断面内水平成分(トンネル軸と直交する方向)と、ひずみについてはトンネル断面の螺旋方向を測定した。実験②では、埋込み型ひずみゲージ($\frac{1}{4}\text{ L}=20\text{ mm}$)を用いて覆工内部の半径方向のひずみ分布も測定した。

3. 測定結果および考察 (1) 速度波形と距離減衰

爆発からほほ等しい距離にあるトンネル覆工および地表面における速度波形(上下成分)のうち代表的なものを図-3に、振動速度の距離減衰を

図-4にそれぞれ実験①、②について示す。

特に地表面の距離減衰は、初期のピーク値とその後の最大値についてプロットした。図-3の地表面における波形は、実験①、②とも地表面の影響を大きくうけている様子が見られる。爆発後非常に近く地點を除いて、振動速度は一般に次式で示されるが、

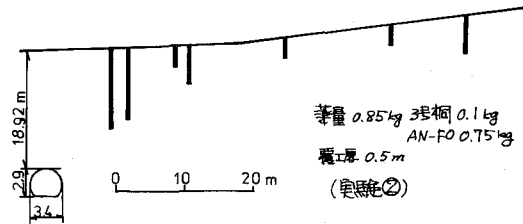
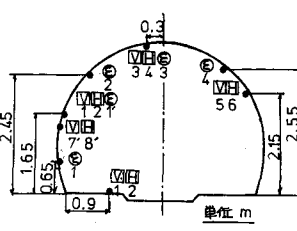


図-1 爆破位置、せん孔長、説明図



(実験①)

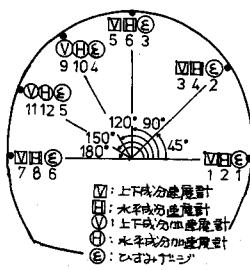


図-2 測定機器取付位置

$$U = C \cdot W^\beta \cdot R^\alpha \quad U: \text{振動速度 (kine)}, W: \text{質量 (kg)} \quad (1)$$

$R: \text{爆破距離 (m)}, C, \alpha, \beta: \text{係数}$

図-4より最大振動速度、距離減衰勾配は、爆破①、②におけるトネル内、地表面ともほぼ同じ ($\alpha \approx -2$) である。従って、距離減衰は逆比例で距離の2乗に逆比例すると言えてもさしつかえないと考えられる。

(2) トネル爆工横断面内の振動速度分布；爆破による振動が爆工入射側とその振動速度分布を爆破①、②についてそれぞれ図-5、図-6に示す。図-5は爆破距離24m、図-6は15mのものである。これらは、爆工内部の各点における振動速度の記録から時間を通じて振動速度値を読み取り、振動入射前の中立線からプロットして描いてある。つまり、中立線の内側は内側への速度のたまりを意味する。これらの図によると、トネル爆工に振動が入射すると、爆破側の壁面は振動入射直後はトネル中心方向へ強く押されるよう進動し、一方末端附近では上方へ押し上げられるような進動を示す。結局、振動速度の最大値は爆破側壁面、そしては末端附近の壁面の自由面と垂直な方向の成分において記録される。

(3) 振動速度と壁面ひずみとの対応；ひずみは爆工の形状のみによって生じるものであるが、振動速度は剛体的な振動の成分をも含んでおり、振動速度とひずみは本質的に異なるものと考えられる。また、トネル断面においてそれらの最大値の生じる位置も異なることが考えられる。

まことに、トネル爆工内壁面接線方向の最大ひずみと断面内半径方向・接線方向の最大振動速度の分布を実験②の結果より絶対値で図-7に示す。なおここで参考までに理論解¹⁾を図-8に示す。両図よりそれらの分布形は定性的に似かよっている。図-7によると半径方向の振動速度が最大となるのは、 $\theta = 90^\circ$ の点である。これは、天端附近の振動速度は他ではない。一方、接線方向のひずみが最大となるのは、 $\theta = 45^\circ, 150^\circ$ 付近である。この図から、トネル爆工の振動速度が最大となるのは、接線方向のひずみが最大となるらしいことがわかる。このことは図-8に示す理論解からも明らかである。また図-7から、接線方向の壁面の振動は半径方向の成分が卓越し、その他部分では接線方向の成分が卓越する。しかし、その絶対値は爆破側面に沿って爆

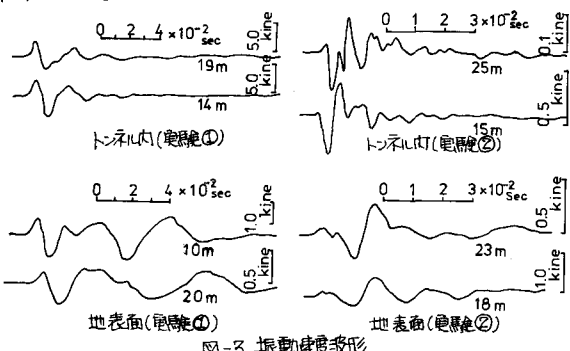


図-3 振動速度波形

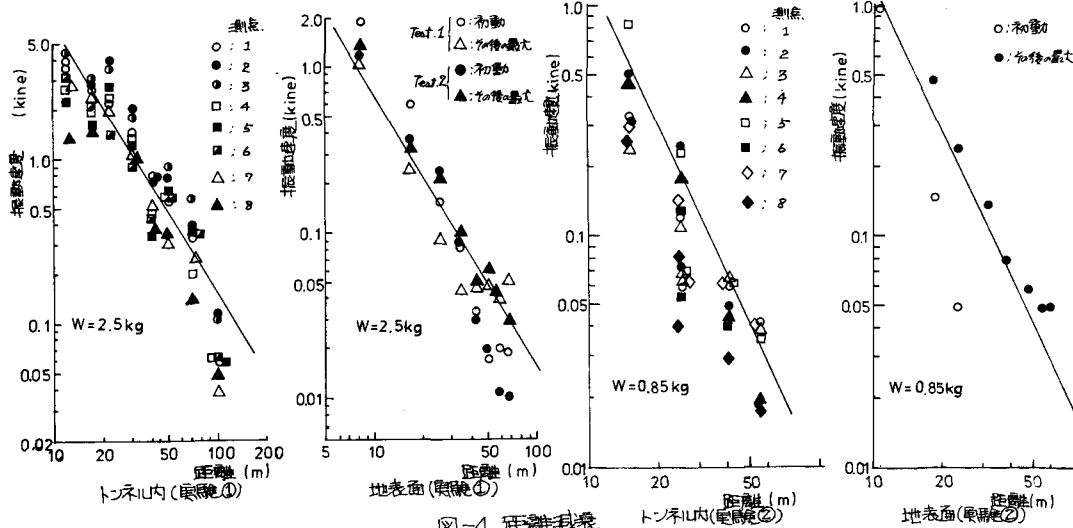


図-4 距離減衰

工場面に生ずる半径方向成分のそれよりは大きくならない。たゞ半径方向の振動速度分布形において、震源値は天端附近で最大となり理論解における最大値の生ずる位置と異なるが、これは次のような理由によると考えられる。a) トンネル天端附近には施工上の問題から地山との間に空隙が生ずる可能性がある。b) 掘削による地山のゆるみが天端附近に著しい。

又し、実験①、②で得られた振動速度とひずみ関係を図-9に示す。同図は同一地盤の振動速度とひずみを考慮させて描いたものである。両者の関係は図-7、図-8で得られた結果を考慮していながらも、当然ではあるが非常にばらついている。そこで、両者の分布形が違うことを考慮して最大振動速度と最大ひずみの関係をあらためて図-10を示す。同図より両者の間には一定の関係があるようである。

これらの結果より、トンネル断面内における振動速度とひずみの関係は、それと割定し、断面内の位置に重要な意味を持つことになる。又し、この両者の関係は理論解より移動入射解と関係していることがわかつている。図-9の関係を示す場合、ひずみと振動速度の関係として一般に(2)式を用いる場合が多い。ここで、(2)式の係数Cは立派によくいはばトンネルの物理的関係よ

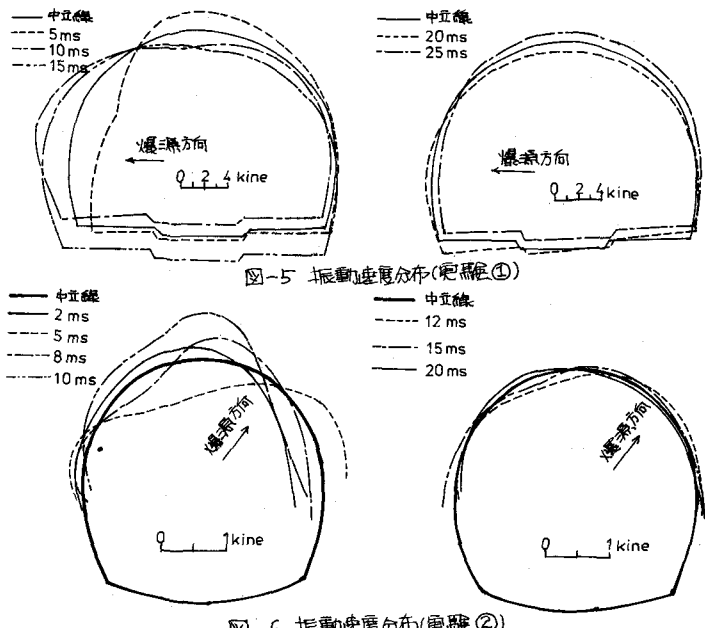


図-5 振動速度分布(実験①)

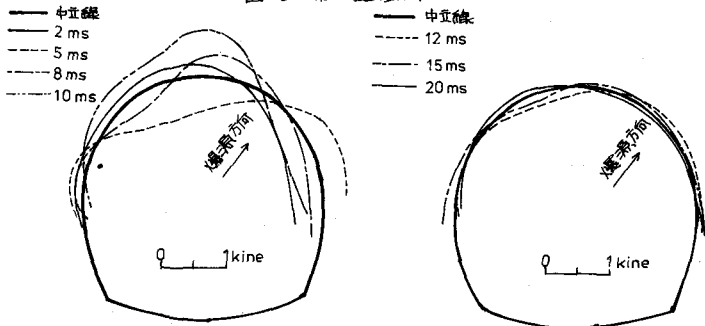


図-6 振動速度分布(実験②)

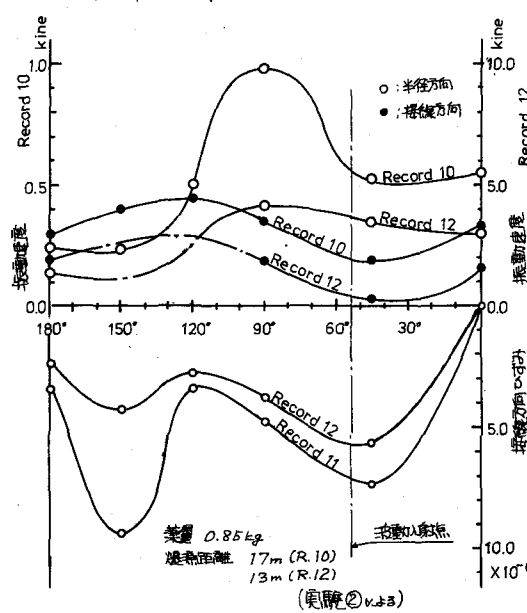


図-7 最大振動速度・最大ひずみの分布

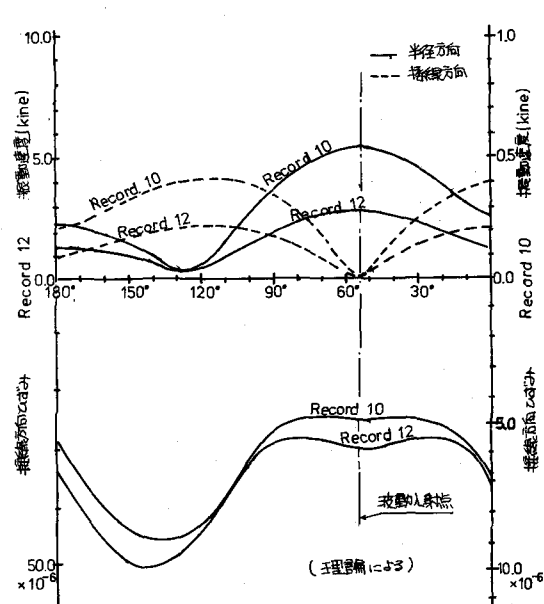


図-8 最大振動速度・最大ひずみの分布

$$\varepsilon = V/C \quad \varepsilon: \text{ひずみ}, V: \text{振動速度}, C: \text{係数} \quad (2)$$

よび地山およびトンネル覆工の剛性などによることによる定義であり、次のように表わされるものである。

$$\frac{1}{C} = \frac{G_i k_i^2 |S(r)|}{2\pi f k_i |H^{(2)}(kr)|} \cdot \frac{\sigma^*}{E_z \cdot 2^*} \quad (3)$$

$$S(r) = H_2^{(2)}(kr)/k^2 + H_0^{(2)}(kr) \cdot (1/k^2 - 1),$$

$$K = \sqrt{2(1-\nu)/(1-2\nu)}, \nu: \text{地山のポアソン比}.$$

$k_i = 2\pi f/V_p$, f : 振動数, V_p : 網波の伝播速度,

$k_i' = K k_i$, G_i : 地山のせん断弾性係数,

E_z : 覆工のヤング率, σ^* , 2^* : 応力, 健度の集中係数,

$H_n^{(2)}$: 第2種のn次のHankel関数, r : 爆破距離.

(4) トンネル覆工内部の半径方向ひずみ分布; (1)～(3)は覆工表面のひずみについて述べており、覆工内部のひずみについては不明である。このため1例ではあるが、爆破に近い覆工断面内のひずみ分布について測定した結果を表-11に示す。これによるとトンネル覆工内部の半径方向に生ずるひずみは圧縮ひずみであり、その絶対値は自由面に近づくにつれて大きくなる。一方、覆工表面ではかなり大きくな引張ひずみが生ずる。このことから、最大引張ひずみは覆工表面において生ずるであろうと考えられる。

4. むすび　ここで得られた結果を要約すれば次のようなである。

1) トンネル壁面で割定される距離減衰勾配は、地表面で得られる距離減衰勾配とは等しい。

2) 覆工は施工上の問題もある。天端附近の上下方向の振動速度が最も大きく、その他の部分では爆破面より覆工内壁面へ自由面へ垂直な方向の振動成分が卓越する。

3) 振動速度の最大値が生ずる点と断面内接線方向ひずみの最大値が生ずる点は必ずしも一致しない。

4) 最大ひずみと最大速度はほぼ比例関係があり、その係数Cは(3)式に示すような意味をもつている。

5) 覆工内部の半径方向ひずみは圧縮ひずみであり、その絶対値は表面の引張ひずみの絶対値より小さい。

最後に、種々便宜をはかりながら神戸市開発局ならびに庄内川水道局の関係者各位に感謝の意を表す。また、住友建設宮川清氏(当時専務)、ならびに岸田郁夫君には実験およびデータ整理の御協力ありがとうございました。ここに厚く御礼申し上げます。

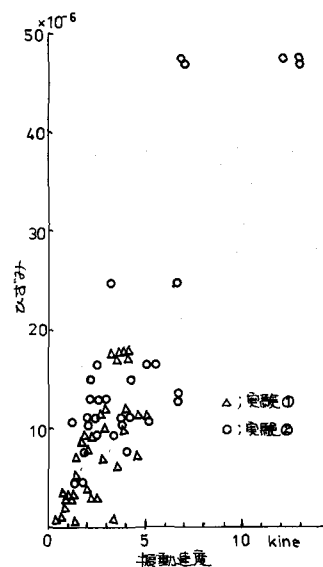


図-9 振動速度ひずみの対応

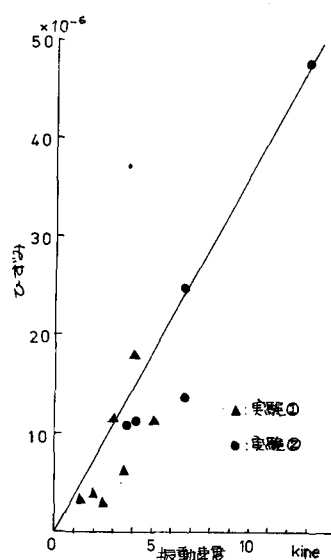


図-10 最大振動速度 最大ひずみの対応

参考文献; 1) 桜井葛西“近接爆破によるトンネル覆工の動的挙動に関する理論的研究”第29回土木学会年次学術講演会、昭和44年 Ⅲ-210.

2) 葛西“振動を受けるトンネルの力学的挙動に関する理論的研究”神戸大学修士論文 昭和44年3月

表-1 覆工半径方向および壁面のひずみ

表面距離(r/cm)	0.0*	0.0**	2.5	17.5	32.5	45.5
ひずみ(x10^-6)	38.2	32.8	-17.0	-9.4	-1.9	0.0

* トンネル軸方向

** 断面内接線方向

(-は圧縮,+は引張を示す)

Tunnel Vibration from Adjacent Blasting

Shunsuke Sakurai*
Yasutoshi Kitamura*
Kohzo Yoshida*

The blasting operations in the vicinity of an existing tunnel have recently increased with progress of urban development. A controlled blasting technique must be established so as to avoid any serious damages on the existing tunnel. The dynamic behaviors of tunnel under blasting operation must be clarified. For this purpose some field works have been conducted. In this paper have been studied the dynamic distribution of particle velocity on the internal surface of tunnel lining, correlation between particle velocity and strain, and strain distribution in the lining. The results obtained in this study are as follows.

- 1) The wave propagation law obtained at tunnel cross-section is approximately similar to one obtained at the ground surface.
- 2) The particle velocity has the maximum value at the crown of the lining.
- 3) The maximum value of the particle velocity and the maximum strain do not appear at the same point on the surface of tunnel lining.
- 4) Approximately linear relation between the maximum value of the particle velocity and the maximum strain at the lining surface is revealed.
- 5) The radial strain in the lining is in compression and its absolute value is smaller than one on the surface of the lining.

*Department of Civil Engineering,
Kobe University, Kobe